

掘削泥壁面周辺地盤の応力状態について

高知高専。吉田泰治

大谷亘

秋山章二郎

1. まえがき

空走液を使用して非粘性土地盤を掘削するとき、掘削壁の空走機構を解明するのに最も大きな問題は、地盤中の応力状態の把握であり、特に破壊域の推定である。今報告は地盤を剛塑性体と仮定し、モール・クーロンの破壊規準を採用することにより、溝掘削後の地盤内の塑性帯を線で検討し、破壊線について概略検討を加えようとするものである。

2. 特性曲線の決定

想定地盤として図-1に示すように、ある深さでの微小厚水平面を考え、この部分の応力状態を考察することとする。なお σ_x, σ_y は微小で無視出来るものとし、主ひずみ増分と主応力方向が一致することを仮定する。以上の条件より、応力の釣合式は

$$\frac{\partial \sigma_z}{\partial x} + \frac{\partial \tau_{xy}}{\partial y} = 0, \quad \frac{\partial \sigma_y}{\partial y} + \frac{\partial \tau_{xy}}{\partial x} = 0, \quad \frac{\partial \tau_{xy}}{\partial z} = \gamma \quad (1)$$

となる。ここで γ : 土の単位体積重量で、 $\sigma_z = \gamma z = \sigma_1 = -\sigma_3$ となる。

いま、 $\sigma_1 > \sigma_2 > \sigma_3$ の状態を考えると、降伏ボテンシャル $f = \sigma_1 - K\sigma_3$

となる。ここで $K = \frac{(1+\sin\phi)}{(1-\sin\phi)}$ 、関連した流れ法則 $\dot{\epsilon}_i = \lambda \frac{\partial \sigma_i}{\partial z}$

より、 $-K \dot{\epsilon}_1 = \dot{\epsilon}_3, \dot{\epsilon}_2 = 0 \quad (2)$ を得る。ここで変位速度の x, y, z 成分を v_x, v_y, v_z とおくと、圧縮ひずみを正として、 $\dot{\epsilon}_x = \frac{\partial v_x}{\partial x}, \dot{\epsilon}_y = \frac{\partial v_y}{\partial y}, \dot{\epsilon}_{xy} = \frac{\partial v_y}{\partial x} + \frac{\partial v_x}{\partial y}, v_z = 0 \quad (3)$ となり、 $\dot{\epsilon}_z$ は $\dot{\epsilon}_x$ と $\dot{\epsilon}_y$ による影響となり、 $\dot{\epsilon}_1 + \dot{\epsilon}_2 + \dot{\epsilon}_3 = \dot{\epsilon}_x + \dot{\epsilon}_y + \dot{\epsilon}_{xy} + \dot{\epsilon}_z \quad (4)$

$$\begin{cases} \dot{\epsilon}_x \\ \dot{\epsilon}_y \end{cases} = \frac{1}{2} [(\dot{\epsilon}_2 + \dot{\epsilon}_3) \pm (\dot{\epsilon}_2 - \dot{\epsilon}_3) \cos 2\alpha], \quad \dot{\epsilon}_{xy} = \frac{1}{2} (\dot{\epsilon}_2 - \dot{\epsilon}_3) \sin 2\alpha \quad (5)$$

ここで、 α は中间主応力 (σ_2) 方向と x 軸との交角である。

$$(2) \text{ 式より } -K \dot{\epsilon}_1 = \dot{\epsilon}_3 + \dot{\epsilon}_2 = \dot{\epsilon}_3 - \dot{\epsilon}_x \quad (6) \quad \text{となり前半の等式は(4)}$$

から満足されることは明らかである。後半の等式は速度ボテンシャル V を導入して、 $v_x = \frac{\partial V}{\partial y}, v_y = \frac{\partial V}{\partial x} \quad (7)$ とし、(3), (5) 式より

$$(\frac{\partial^2 V}{\partial y^2} - \frac{\partial^2 V}{\partial x^2})^2 + 4(\frac{\partial^2 V}{\partial x \partial y})^2 = 0 \quad (8) \quad \text{を得る。}$$

$\frac{1}{2} (\frac{\partial^2 V}{\partial y^2} - \frac{\partial^2 V}{\partial x^2}) \frac{dy}{dx} = -\frac{\partial^2 V}{\partial x \partial y} \quad (9), \quad \frac{1}{2} (\frac{\partial^2 V}{\partial y^2} - \frac{\partial^2 V}{\partial x^2}) \frac{dy}{dx} = \frac{\partial^2 V}{\partial x \partial y} \quad (10)$ いま、ある曲線 L が(9)式を満足するなら、(10)式も成立しなければならない。即ち(9), (10)式は(7)式なり $\frac{1}{2} (\frac{\partial^2 V}{\partial y^2} + \frac{\partial^2 V}{\partial x^2}) \frac{dy}{dx} = -\frac{\partial^2 V}{\partial x^2}, \frac{1}{2} (\frac{\partial^2 V}{\partial y^2} + \frac{\partial^2 V}{\partial x^2}) \frac{dy}{dx} = -\frac{\partial^2 V}{\partial y^2} \quad (11)$ となる。

この微係数の行列式は零となる、この曲線 L は特性曲線となる。この特性曲線の方向式は(11), (3), (5)式より、 $\frac{dy}{dx} = (1 - \cos 2\alpha) / \sin 2\alpha = \tan \alpha \quad (12)$ となり、特性曲線の方向は x 軸と α の交角を有するといふことになり、このことは特性曲線が中间主応力方向と一致するこことを示している。

次に応力場で検討するため、 $\sigma_m' = \frac{1}{3} (3\sigma_m - \sigma_2) = \frac{1}{3} (\sigma_2 + \sigma_3)$ とおき、

$\tau_{xy} = (\sigma_m' - \sigma_3) \sin 2\alpha \quad (13)$ より、(11)式代入すると放物型偏微分方程式を得られ、特性曲線は1つしか存在せず、ひずみ場での検討同様(12)式を得る。すなわち、ひずみ場、応力場、両者の検討より、特性曲線(すべり線)は唯一で、中间主応力方向と一致するこになる。

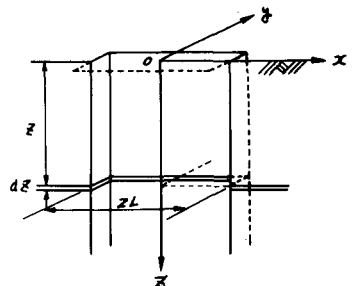


図1 想定地盤

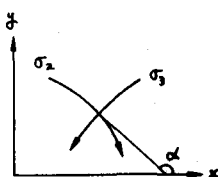


図2 主応力方向

3. 破壊域の決定

ここで、中間主応力方向として図-3の光弾性実験の結果より椭円形で近似出来るとする。また、特性曲線が唯一として存在しないことを類推して、破壊境界を中間主応力方向と一致するものとして椭円形で近似出来るとして仮定する。

$\zeta = \bar{z}$ 、破壊境界は $(\frac{\sigma}{c_0} \cosh \beta_c)^2 + (\frac{\tau}{c_0} \sinh \beta_c)^2 = 1$ の椭円形として、弹性域内 ($\zeta > \beta_c$) を単位円内割に写像すると、写像周数は

$$Z = R(m\zeta + \zeta^{-1}) \quad \text{で示される。} \quad \therefore K \quad R = e^{\beta_c} / 2, \quad m = e^{\beta_c}$$

$\zeta = (\gamma/\rho) e^{i\theta}$ $\beta \geq 1$ で $\beta = 1$ の時 破壊境界 ($\zeta = \beta_c$) を示す。

$$x = c_0 \cosh \beta_c \cos \theta, \quad y = c_0 \sinh \beta_c \sin \theta \quad \text{で示される。}$$

ここで、弹性域内 ($\zeta > \beta_c$) の応力は $\sigma_y + \sigma_x = \sigma_n + \sigma_s$

$$\sigma_y - \sigma_x + 2i\tau_{xy} = -e^{-2i\alpha} (\sigma_n - \sigma_s + 2i\tau_{xy}) \quad \text{で示される。}$$

ここで $\alpha = \theta + \frac{\pi}{2}$, $\theta = -\ell$ である。

次に弹性域内での境界条件として、無限遠處では、 $\sigma_x(\infty) = \sigma_y(\infty) = K_0 \sigma_n$ $\tau_{xy}(\infty) = 0$, $\therefore K_0$ は静止土圧係数である。

また、破壊境界 ($\zeta = \beta_c$) 周上では $\sigma_s = 0$, $\tau_{xy} = 0$ である。
更に $\ell = 0$ (X軸上) で $\sigma_n = \sigma_t$ と仮定して β_c を求める。この境界条件は、破壊域内には弹性域からの応力の伝達ではなく、破壊境界近傍の弹性域内の応力の最大値は σ_t を越えることはないという条件を示したものであり、このあたりでは更に検討を要する問題である。

以上の条件から、複素応力周数は $\Psi(z) = \frac{1}{2} K_0 \sigma_t R (\beta_c^{-1} - m \beta)$

$$\Psi(z) = -\frac{1}{2} K_0 \sigma_t R (1 + m^2) / (1 - m \beta^2)$$

で示される。すると $\sigma_x + \sigma_y = 2 [\Psi(z) + \Psi'(z)]$

$$\sigma_y - \sigma_x + 2i\tau_{xy} = 2 [\bar{z} \Psi''(z) + \Psi'(z)] \quad \text{である。}$$

ここで、静止土圧係数として $K_0 = 1 - \sin \phi$ を採用し、 $\phi = 40^\circ$ (実験使用砂のせん断抵抗角 ϕ' を採用) として、 $\beta = \beta_c$ 上で、 $\ell = 0$ のとき $\sigma_n = \sigma_t$ の境界条件を導入すると、 $\beta_c \approx 0.9$ が求まる。

いま、長方形溝として、長さ $2L$ 、巾 $2f_0 L$ を考慮し、この長方形溝に内接する椭円孔で近似するとすると $\beta_c \approx 0.9$ とし、 $C_0 = L (1 - f_0^2)^{\frac{1}{2}}$ となる。したがって $K_0 = \frac{1}{2} \ln [(1+f_0)/(1-f_0)]$ の椭円孔である。

実際の掘削溝の 1 エレメントは $f_0 \approx 0.1$ 程度多く使用されておりるので、これを採用してみると、

破壊線は図-5 のようになる。⁽¹⁾ なお図中には室内実験での実測破壊線も示してある。ただし、室内実験は地盤中に長方形溝を掘削したものではなく、壁面のX軸に平行方向は固定壁としている。なお、 $K_0 = 0.5$ とすると、この破壊境界線は円形で示されることになる。

(1) “掘削泥壁面への土圧に関する考察”(吉田・大谷): 第32回土木学会中四国講演会論文集 pp.222~223, 5.85年。

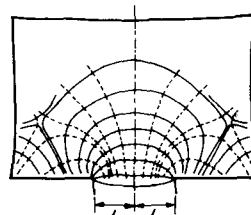


図3 主応力線図
(直続体光弾性実験)

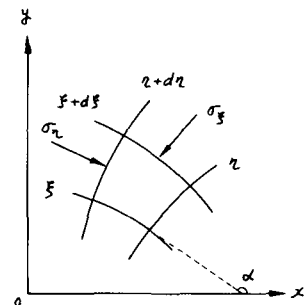


図4

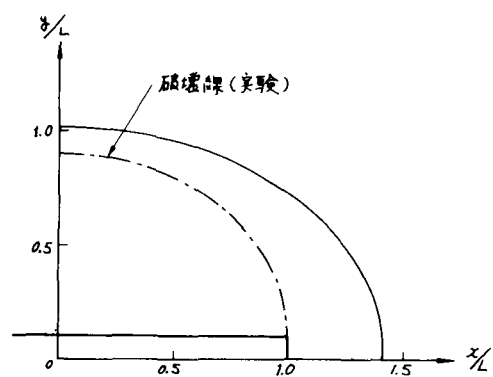


図5 破壊境界線